

스타 네트워크와 그의 변형 네트워크 사이의 노드 사상 알고리즘

기우서°, 이형옥, 오재철

순천대학교 {컴퓨터과학과, 컴퓨터교육과, 컴퓨터학과}

Node Mapping Algorithm Between Star and Like-Stars

Kiwooseo°, Hyeongok Lee, Oh Jaecheol

{Dept. Computer Sci., Dept. Computer Edu., Dept. Computer Sci.}, Suncheon National Univ.

k00165@lycos.co.kr

요 약

스타(star) 네트워크는 노드 대칭성, 최대 고장 허용도, 계층적 분할 성질을 갖고, 하이퍼큐브보다 망 비용이 개선된 상호 연결망이다. 본 연구에서는 상호연결망으로 널리 알려진 스타네트워크와 RFM, 버블정렬네트워크 사이의 임베딩 방법을 제안하고, 임베딩의 연장을 비용을 분석한다. 연구 결과로 버블정렬(Bubblesort) 그래프 B_N 을 RFM 그래프 R_N 에 연장비용 2, 버블정렬(Bubblesort) 그래프 B_N 을 스타그래프 S_N 에 연장을 3에 임베딩 할 수 있다.

1. 서론

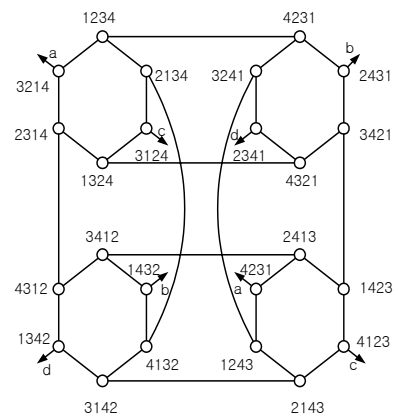
병렬컴퓨터는 크게 공유 기억 장치를 갖는 다중프로세서(multiprocessor) 시스템과 분산 기억 장치를 사용하는 다중컴퓨터(multicomputer) 시스템으로 분류한다. 다중컴퓨터 시스템은 각각의 프로세서들이 자신의 기억 장치를 갖고 각 프로세서는 상호 연결망에 의해 연결되어 있으며 프로세서간의 통신은 상호 연결망을 통하여 메시지 전송 방식[]으로 이루어진다. 다중컴퓨터에서 상호 연결망은 전체 시스템의 성능과 시스템의 확장성에 큰 영향을 미친다. 지금까지 널리 알려진 상호 연결망으로 메쉬, 하이퍼큐브, 스타(star) 그래프[2] 등이 있다. 상호연결망을 평가하는 망 척도는 분지수(degree), 지름(diameter), 대칭성(symmetry), 확장성(scalability), 고장허용도(fault tolerance), 임베딩(embedding) 등이 있다[1,4]. 상호 연결망의 임베딩은 어떤 그래프 G 가 다른 그래프 H 에 포함 혹은 어떻게 연관되어 있는지를 알아보기 위해 그래프들간의 관계를 분석하기 위한 평가 척도이다. 그래프 G 가 다른 그래프 H 에 적은 비용으로 임베딩 가능하다는 것은 연결망 G 에서 개발된 알고리즘을 연결망 H 에서 적은 비용으로 효율적으로 이용할 수 있기 때문에 상호 연결망의 임베딩 평가는 의미가 있다[4,6].

본 논문에서는 스타그래프 부류로 널리 알려진 스타(Star) 그래프와 RFM 그래프 그리고 버블정렬(Bubblesort) 그래프간의 임베딩을 분석한다. 논문구성은 2장에서 본 연구에서 적용되는 그래프의 정의와 성질을 그래프 이론 관점에서 알아보고 3장에서 임베딩 방법과 연장을 분석하고 마지막으로 결론을 맺는다.

2. 관련연구

상호 연결망은 각 프로세서를 노드로 프로세서들 간의 통신 채널을 에지로 나타내는 무방향 그래프 $G=(V,E)$ 로 표현된다[1]. 여기서 $V(G)$ 는 노드들의 집합 즉 $V(G)=\{0,1,2,\dots,N-1\}$ 이고, $E(G)$ 는 에지의 집합으로써 $V(G)$ 내의 임의의 두 노드 v 와 w 의 쌍 (v,w) 으로서 에지 (v,w) 가 존재할 필요충분 조건은 노드 v 와 w 사이에

통신 채널이 존재하는 것이다. 지금까지 제안된 상호연결망을 노드 수를 중심으로 분류하면 $n \times k$ 개 노드를 갖는 메쉬 부류, 2^n 개 노드를 갖는 하이퍼큐브 부류[3], $n!$ 개 노드를 갖는 스타그래프 부류로 나눌 수 있다. 스타 그래프 부류는 n 개의 심볼을 이용하여 노드 표현의 개수가 대략 $n!$ 개 이고, 분지수는 대략 n 개 정도를 갖도록 구성되었다. 이러한 스타그래프 부류로 스타(Star)그래프, 버블정렬(Bubblesort)그래프[5], 팬케익(Pancake)그래프[2], 전치(Transposition)그래프, 매크로-스타(Macro-star)그래프 등이 제안되었다. 스타(Star)그래프는 하이퍼큐브와 비슷한 노드 개수를 가질 때 상대적으로 적은 노드 개수와 짧은 지름을 갖는 장점이 있지만, 노드 개수 증가율이 급격하고 하이퍼큐브 부류와 임베딩이 어려운 단점이 있다.



(그림 1) 4 차원 스타 그래프

N -차원 스타(Star) 그래프 S_N 은 $N!$ 개의 노드와 $N!(N-1)/2$ 개의 에지로 구성된다. 각 노드의 주소는 N 개의 서로 다른 심볼의 순열로 표현될 수 있고, 노드 v 와 w 의 순열에서 첫 번째 심볼과 나머지 $N-1$ 개 심볼 중 한 개의 심볼이 교환된 순열을 갖는 노드 v 와 w 사이에 에지가 존재한다. n 개의 서로 다른 집합 $\langle N \rangle = \{1, 2, \dots, n\}$ 이라 하고, $\langle N \rangle$ 의 순열 $S = s_1 s_2 \dots s_n$, $s_i \in \langle N \rangle$ 이라 하면 스타그래프 S_N 은 다음과 같이 정의된다[2].

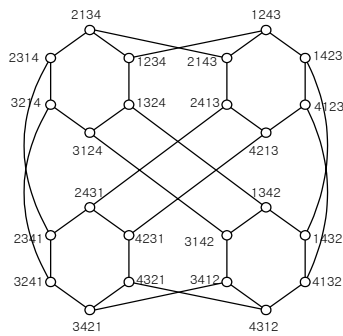
$$V(S_N) = \{(s_1s_2...s_i...s_n) \mid s_i \in \langle n \rangle, i \neq j, s_i \neq s_j\}$$

$$E(S_N) = \{(s_1s_2...s_i...s_n)(s_1s_2...s_{i+1}...s_n) \mid (s_1s_2...s_i...s_n) \in V(S_N), 2 \leq i \leq n\}$$

N -차원 버블정렬(Bubblesort) 그래프 B_N 은 $N!$ 개의 노드와 $N!(N-1)/2$ 개의 에지로 구성된다. 각 노드의 주소는 n 개의 서로 다른 심볼의 순열로 표현될 수 있고, 임의의 두 노드 v 와 w 의 n 개 비트 스트링에서 연속된 위치의 두개 심볼이 교환된 순열을 갖는 노드 v 와 w 사이에 에지가 존재한다. N 개의 서로 다른 심볼 집합 $\langle N \rangle = \{1, 2, \dots, n\}$ 이라 하고, $\langle N \rangle$ 의 순열을 $B = b_1b_2...b_n$, $b_i \in \langle N \rangle$ 이라 할 때, 버블정렬 그래프 B_N 은 다음과 같이 정의된다[5].

$$V(B_N) = \{(b_1b_2...b_n) \mid b_i \in \langle n \rangle, i \neq j, b_i \neq b_j\}$$

$$E(B_N) = \{(b_1b_2...b_i b_{i+1}...b_n)(b_1b_2...b_{i+1}b_i...b_n) \mid (b_1b_2...b_i...b_n) \in V(B_N), 1 \leq i \leq N-1\}$$



(그림 3) 4 차원 버블정렬 그래프

n -차원 Rotator-Faber-Moore(이하 RFM_n) 그래프는 n 개 심볼 $\{1, 2, 3, \dots, n\}$ 의 순열로 노드를 나타내고, 노드간의 연결 관계는 방향그래프인 Rotator 그래프와 Faber-Moore 그래프의 에지 발생기 즉, 차원에지를 함께 적용하여 에지를 정의하고 있다. Rotator 그래프의 차원에지 R^i 는 $(123...i...n) \rightarrow (23...i1...n)$, $2 \leq i \leq n$ 이고, Faber-Moore 그래프의 차원에지 F^j 는 $(123...j-1jj+1...n) \rightarrow (j123...j-1j+1...n)$, $2 \leq j \leq n$ 이다. n 개의 서로 다른 집합 $\langle N \rangle = \{1, 2, \dots, n\}$ 이라 하고, $\langle N \rangle$ 의 순열 $r_1r_2...r_i...r_n$, $r_i \in \langle N \rangle$ 이라 하면 RFM_n 그래프는 다음과 같이 정의된다[6].

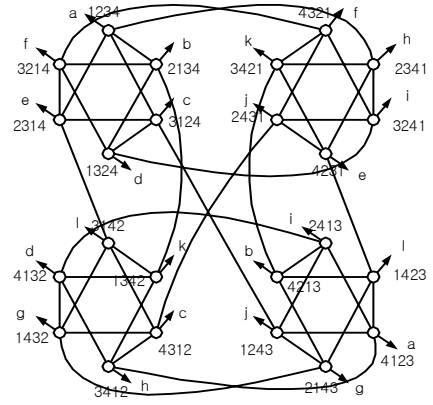
$$V(RFM_n) = \{(r_1r_2...r_i...r_n) \mid r_i \in \langle N \rangle, i \neq j, r_i \neq r_j\}$$

$$E(RFM_n) = \{R^i, F^j\}$$

$$R^i : \{(r_1r_2...r_i...r_n)(r_2p_3p_4...r_1r_1...r_n) \mid (r_1r_2...r_i...r_n) \in V(RFM_n), 2 \leq i \leq n\}$$

$$F^j : \{(r_1r_2...r_{j-1}r_jr_{j+1}...r_n)(r_jr_1r_2...r_{j-1}r_{j+1}...r_n) \mid (r_1r_2...r_{j-1}r_jr_{j+1}...r_n) \in V(RFM_n), 2 \leq j \leq n\}$$

RFM_n 그래프는 $n!$ 개의 노드 개수를 갖고, 분지수가 $2n-3$ 이고 노드 대칭적인 정규연결망임이 알려졌다. RFM_n 그래프의 지름은 $n-1$ 이고, 최대고장허용도를 갖고, 노드 중복하지 않는 싸이클이 존재하고, 일대다 방송 알고리즘이 제시되었다. 또한 임베딩에 있어서는 스타그래프 S_n 을 RFM_n 그래프에 연장을 2, 버블정렬 그래프 B_n 을 RFM_n 그래프에 연장을 2, 2차원 토러스 $n \times (n-1)!$ 을 RFM_n 그래프에 연장을 2로 임베딩한 결과가 있다[6].



(그림 3) 4 차원 RFM 그래프

3. 임베딩 알고리즘 분석

그래프의 임베딩(embedding)은 어떤 그래프 G 가 다른 그래프 H 구조에 포함 혹은 어떻게 연관되어 있는지를 알아보기 위해, 어떤 특정한 그래프를 다른 그래프에 사상(mapping)하는 것이다. 그래프 G 의 그래프 H 에 대한 임베딩 f 는 다음과 같이 정의되는 함수의 쌍 (θ, ρ) 을 말한다. θ 는 G 의 정점 집합 $V(G)$ 를 H 의 정점 집합 $V(H)$ 에 대응시키는 함수이고, ρ 는 G 의 에지 $e=(v,w)$ 에서 $\theta(v)$ 와 $\theta(w)$ 를 잇는 H 상의 경로로 대응시키는 함수이다. 임베딩의 비용을 나타내는 척도는 연장율(dilation), 밀집율(congestion), 확장율(expansion)이 사용되고 있다. 그래프 G 의 에지 e 의 연장율은 H 상에서의 경로 $\rho(e)$ 의 길이를 말하고, 임베딩 f 의 연장율은 G 의 모든 에지의 연장율 중 최대값이다. 그래프 H 의 에지 e' 의 밀집율은 e' 에 포함되는 $\rho(e)$ 의 개수를 말하고, 임베딩 f 의 밀집율은 H 의 모든 에지의 밀집율 중 최대값이다. 임베딩 f 의 확장율은 G 의 정점의 개수에 대한 H 의 정점의 개수의 비를 말한다. 스타그래프 S_N 의 노드 $S(s_1s_2...s_i...s_n)$ 에서 심볼 s_1 과 s_i 가 교환된 순열 $s_1s_2...s_i...s_n$ 을 연결하는 에지를 i -차원에지라 하고, 차원에지 S_i , $2 \leq i \leq n$ 로 표현하고, 팬케익 그래프 P_N 의 노드 $P=(p_1p_2...p_i...p_n)$ 에서 심볼 p_i 부터 첫 번째 심볼 p_1 까지 역순으로 생성된 순열 $p_1p_i p_{i-1} p_{i-2}...p_1 p_{i+1}...p_n$ 을 연결하는 에지를 i -차원에지라 하고, 차원에지 P_i , $2 \leq i \leq n$ 로 표현한다. 버블정렬 그래프 B_N 의 노드 $B=(b_1b_2...b_i b_{i+1}...b_n)$ 에서 인접한 2개의 심볼 b_i 와 b_{i+1} 이 교환된 순열 $b_1b_2...b_{i+1}b_i...b_n$ 을 연결하는 에지를 i -차원에지라 하고, 차원에지 B_i , $1 \leq i \leq n-1$ 로 표현한다.

스타그래프 S_N 의 임의의 노드 U 에서 차원에지 S_i 에 인접한 노드를 V 라 할 때, 노드 V 는 다음과 같이 $V=S_i(U)$ 로 표현한다. 또한, 노드 U 에서 스타그래프의 차원에지 S_i, S_j, S_k 를 순차적으로 적용하여 도달한 노드를 V 라 할 때, 차원에지를 순차적으로 적용한다는 것은 첫 번째 단위시간에는 노드 U 에서 차원에지 S_i 에 의해 인접한 노드 $S_i(U)$ 의 순열을 생성함을 의미하고, 두 번째 단위시간에는 노드 $S_i(U)$ 에서 차원에지 S_j 에 인접한 노드 $S_j(S_i(U))$ 를 생성함을 의미하고, 세 번째 단위시간에는 순열 $S_j(S_i(U))$ 에서 차원에지 S_k 에 인접한 순열 $S_k(S_j(S_i(U)))$ 에 도달함을 의미하고 노드 $V=S_k(S_j(S_i(U)))$ 를 의미한다. 이와 같이 노드 U 에 차원에지 S_i, S_j, S_k 를 순차적으로 적용하여 도달한 노드 $V=S_k(S_j(S_i(U)))$ 로 표

현하고, 순열 $S_k(S_j(S_i(U)))$ 는 간단히 $S_k S_j S_i(U)$ 로 표기한다. 노드 U 에 순차적으로 적용된 차원예지를 차원예지 시퀀스 $\langle S_i, S_j, S_k \rangle$ 로 나타낸다. 위의 차원예지와 차원예지 시퀀스는 팬케익그래프 P_N 와 버블정렬그래프 B_N 에서 동일하게 적용된다.

본 연구에서 적용하는 임베딩의 기본 방법은 다음과 같다. 스타그래프 S_N 와 팬케익그래프 P_N 그리고 버블정렬그래프 B_N 에서 노드 사상은 동일한 주소를 갖는 노드로 일-대-일 사상한다. 사상할 그래프의 인접한 두 노드 (U, V) 를 연결하는 차원예지는 사상된 그래프의 예지 정의를 이용하여 $\emptyset(U)$ 와 $\emptyset(V)$ 를 연결하는 최단경로(the shortest path)의 차원예지 시퀀스로 나타내고, 임베딩의 연장율은 차원예지 시퀀스의 개수로 나타낸다.

정리 1 버블정렬(Bubblesort) 그래프 B_N 을 RFM 그래프 R_N 에 연장비율 2, 확장비율 1에 임베딩 가능하다.

증명 버블정렬그래프 B_N 와 RFM 그래프 R_N 의 노드는 $N!$ 개의 동일한 주소를 갖는 노드들로 일-대-일 사상 가능하다. 두 그래프의 노드를 사상하는 방법은 버블정렬 그래프 B_N 의 노드 $B(b_1 b_2 b_3 \dots b_i \dots b_n)$ 를 RFM 그래프 R_N 의 노드 $R(=r_1 r_2 r_3 \dots r_i \dots r_n)$ 로 사상하고, 버블정렬 그래프의 노드 B 와 i -차원예지에 의해 연결된 노드 B' 를 RFM 그래프 R_N 의 노드 R' 로 사상한다. 임베딩의 연장율을 분석하기 위해 버블정렬그래프의 예지를 차원예지의 경우로 나누고, 버블정렬 그래프의 노드 B 와 B' 가 사상된 RFM 그래프의 노드 R 와 R' 에서 노드 R 의 주소로부터 노드 R' 의 주소를 생성하기 위해 필요한 예지 개수를 통해 연장율을 분석한다. 버블정렬그래프의 차원예지에 따라 3가지 경우로 나누어 증명한다.

경우1. $i=1$ -차원예지

버블정렬그래프 B_N 의 노드 $B(b_1 b_2 b_3 \dots b_i \dots b_n)$ 와 1-차원예지에 의해 인접한 노드 B' 의 순열은 $b_2 b_1 b_3 \dots b_i \dots b_n$ 이다. RFM 그래프 R_N 의 노드 $R(=r_1 r_2 r_3 \dots r_i \dots r_n)$ 는 예지 R^2 에 의해 노드 $R'(=r_2 r_1 r_3 \dots r_i \dots r_n)$ 와 인접한 노드이다. 따라서 버블정렬그래프 B_N 의 노드 $B(b_1 b_2 b_3 \dots b_i \dots b_n)$ 와 1-차원예지에 인접한 노드 B' 는 RFM 그래프 R_N 의 노드 R 와 R' 로 각각 사상할 때 연장율 1에 임베딩 가능하다.

경우2. $i=2$ 차원예지

버블정렬그래프 B_N 의 노드 $B(b_1 b_2 b_3 b_4 \dots b_i \dots b_n)$ 와 2-차원예지에 의해 인접한 노드 $B'(=b_1 b_3 b_2 b_4 \dots b_i \dots b_n)$ 이다. RFM 그래프 R_N 의 노드 $R(=r_1 r_2 r_3 \dots r_i \dots r_n)$ 는 노드 $R'(=r_1 r_3 r_2 \dots r_i \dots r_n)$ 와 인접하지 않다. RFM 그래프의 노드 $R(=r_1 r_2 r_3 \dots r_i \dots r_n)$ 에서 노드 $R'(=r_1 r_3 r_2 \dots r_i \dots r_n)$ 까지 최단경로 라우팅을 위해 이용하는 예지 개수를 통해 연장율을 분석한다. 노드 $R(=r_1 r_2 r_3 \dots r_i \dots r_n)$ 에서 R' 까지의 라우팅을 위한 차원예지의 시퀀스는 $\langle F^3, R^2 \rangle$ 이다. 노드 $R(=r_1 r_2 r_3 \dots r_i \dots r_n)$ 에서 차원예지 F^3 에 의해 인접한 노드는 $F^3(R)=r_3 r_1 r_2 \dots r_i \dots r_n$ 이고, 노드 $F^3(R)$ 에서 차원예지 R^2 에 인접한 노드는 $R^2(F^3(R))=r_1 r_3 r_2 \dots r_i \dots r_n$ 이다. 따라서 RFM 그래프의 노드 $R(=r_1 r_2 r_3 \dots r_i \dots r_n)$ 에서 차원예지 시퀀스 $\langle F^3, R^2 \rangle$ 를 적용한 노드 $R^2(F^3(R))(=r_1 r_3 r_2 \dots r_i \dots r_n)$ 는 노드 R' 와 동일한 주소이므로, 버블정렬그래프 B_N 의 노드 $B(b_1 b_2 b_3 \dots b_i \dots b_n)$ 와 2-차원예지에 인접한 노드 B' 는 팬케익그래프에 연장율 2에 임베딩 가능하다.

경우3. $i \geq 3$ 차원예지

버블정렬그래프 B_N 의 노드 $B(b_1 b_2 b_3 \dots b_{i-1} b_i b_{i+1} b_{i+2} \dots b_n)$ 와 i -차원예지에 의해 인접한 노드 B' 의 순열은 $b_1 b_2 b_3 \dots b_{i-1} b_{i+1} b_i b_{i+2} \dots b_n$ 이다. RFM 그래프 R_N 의 노드 $R(=r_1 r_2 r_3 \dots r_{i-1} r_i r_{i+1} r_{i+2} \dots r_n)$ 는 노드 $R'(=r_1 r_2 r_3 \dots r_{i-1} r_i r_{i+1} r_{i+2} \dots r_n)$ 와 인접하지 않으므로, 노드 $R(=r_1 r_2 r_3 \dots r_{i-1} r_i r_{i+1} r_{i+2} \dots r_n)$ 에서 노드 $R'(=r_1 r_2 r_3 \dots r_{i-1} r_i r_{i+1} r_{i+2} \dots r_n)$ 까지 최단경로 라우팅을 위해 이용하는 차원예지 개수를 통해 연장율을 분석한다. RFM 그래프의 노드 R 에서 R' 까지 최적 라우팅을 위한 차원예지 시퀀스는 $\langle F^i, R^{i+1} \rangle$ 이고, 라우팅 과정은 다음과 같다. 노드 $R(=r_1 r_2 r_3 \dots r_{i-1} r_i r_{i+1} r_{i+2} \dots r_n)$ 에서 차원예지 F^i 에 의해 인접한 노드 $F^i(R)(=r_i r_1 r_2 r_3 \dots r_{i-1} r_{i+1} r_{i+2} \dots r_n)$ 이고, 노드 $F^i(R)$ 에서 차원예지 R^{i+1} 에 의해 인접한 노드 $R^{i+1}(F^i(R))(=r_1 r_2 r_3 \dots r_{i-1} r_i r_{i+1} r_{i+2} \dots r_n)$ 이다. 따라서 RFM 그래프의 노드 $R(=r_1 r_2 r_3 \dots r_{i-1} r_i r_{i+1} r_{i+2} \dots r_n)$ 에서 차원예지 시퀀스는 $\langle F^i, R^{i+1} \rangle$ 를 경유한 노드 $R^{i+1}(F^i(R))$ 의 순열은 노드 $R'(=r_1 r_2 r_3 \dots r_{i-1} r_i r_{i+1} r_{i+2} \dots r_n)$ 와 동일함을 알 수 있다. 결국 버블정렬그래프 B_N 의 노드 $B(b_1 b_2 b_3 \dots b_i \dots b_n)$ 에서 3-차원 이상의 예지에 인접한 노드 B' 는 RFM 그래프 R_N 의 노드 R 에서 2개의 예지 시퀀스 $\langle F^i, R^{i+1} \rangle$ 을 순차적으로 적용하여 구성한 노드 $R^{i+1}(F^i(R))$ 로 사상되므로 연장율 2에 임베딩 가능하다. □

정리 2 RFM 그래프 R_N 을 버블정렬(Bubblesort) 그래프 B_N 에 연장비율 $O(n)$, 확장비율 1에 임베딩 가능하다.

(증명) RFM 그래프 R_N 와 버블정렬그래프 B_N 는 $N!$ 개의 노드를 갖고, 동일한 주소를 갖는 노드가 존재한다. 두 그래프의 노드를 사상하는 방법은 RFM 그래프 R_N 의 노드 $R(=r_1 r_2 r_3 \dots r_i \dots r_n)$ 을 버블정렬그래프 B_N 의 노드 $B(=b_1 b_2 b_3 \dots b_i \dots b_n)$ 로 사상하고, RFM 그래프의 노드 R 와 예지 R^i 와 F^i 에 의해 인접한 노드 $R^i(R)$ 와 $F^i(R)$ 를 버블정렬그래프의 노드 B' 로 각각 사상한다. RFM 그래프의 노드 R 와 노드 R 과 인접한 노드 $R^i(R)$ 와 $F^i(R)$ 가 사상된 버블정렬 그래프의 노드 B 와 B' 에서 노드 B 의 주소로부터 노드 B' 의 주소를 생성하기 위해 필요한 예지 개수를 통해 연장율을 분석한다. RFM 그래프의 예지 R^i 와 F^i 에 따라 2가지 경우로 나누어 증명한다.

경우1. 예지 $R^i, (2 \leq i \leq n)$

RFM 그래프 R_N 의 노드 $R(=r_1 r_2 r_3 \dots r_i \dots r_n)$ 에서 예지 R^i 에 의해 인접한 노드는 $R^i(=r_2 r_3 \dots r_i r_1 \dots r_n)$ 이다. RFM 그래프의 노드 $R(=r_1 r_2 r_3 \dots r_i \dots r_n)$ 과 $R^i(=r_2 r_3 \dots r_i r_1 \dots r_n)$ 을 버블정렬그래프의 노드 $B(=b_1 b_2 b_3 \dots b_i \dots b_n)$ 와 $B'(=b_2 b_3 \dots b_i b_1 \dots b_n)$ 로 사상한다. 이때 노드 $B(=b_1 b_2 b_3 \dots b_i \dots b_n)$ 과 $B'(=b_2 b_3 \dots b_i b_1 \dots b_n)$ 는 서로 인접하지 않으므로, 노드 $B(=b_1 b_2 b_3 \dots b_i \dots b_n)$ 에서 노드 $B'(=b_2 b_3 \dots b_i b_1 \dots b_n)$ 까지 최단경로 라우팅을 위해 이용하는 차원예지 개수를 통해 연장율을 분석한다. 노드 $B(=b_1 b_2 b_3 \dots b_i \dots b_n)$ 에서 $B'(=b_2 b_3 \dots b_i b_1 \dots b_n)$ 까지의 라우팅을 위한 차원예지의 시퀀스는 $\langle 1, 2, 3, \dots, i-1 \rangle$ 차원예지이다. 이때 차원예지 i 의 최대 값은 $n-1$ 이므로, 연장율은 $O(n)$ 임을 알 수 있다.

경우2. 예지 $F^i, (2 \leq i \leq n)$

RFM 그래프 R_N 의 노드 $R(=r_1 r_2 r_3 \dots r_i \dots r_j \dots r_n)$ 에서 예지 F^i 에 의해 인접한 노드는 $R^i(=r_j r_1 r_2 r_3 \dots r_i \dots r_j-1 r_j+1 \dots r_n)$ 이다. RFM 그래프의 노드 $R(=r_1 r_2 r_3 \dots r_i \dots r_j \dots r_n)$ 과

$R'(=r_1r_2r_3...r_i...r_{j-1}r_{j+1}...r_n)$ 을 버블정렬그래프의 노드 $B(=b_1b_2b_3...b_i...b_{j-1}b_{j+1}...b_n)$ 와 $B'(=b_1b_2b_3...b_i...b_{j-1}b_{j+1}...b_n)$ 로 사상한다. 이때 노드 $B(=b_1b_2b_3...b_i...b_{j-1}b_{j+1}...b_n)$ 과 $B'(=b_1b_2b_3...b_i...b_{j-1}b_{j+1}...b_n)$ 는 서로 인접하지 않으므로, 노드 $B(=b_1b_2b_3...b_i...b_{j-1}b_{j+1}...b_n)$ 에서 노드 $B'(=b_1b_2b_3...b_i...b_{j-1}b_{j+1}...b_n)$ 까지 최단경로 라우팅을 위해 이용하는 차원에지 개수를 통해 연장율을 분석한다. 노드 $B(=b_1b_2b_3...b_i...b_{j-1}b_{j+1}...b_n)$ 에서 $B'(=b_1b_2b_3...b_i...b_{j-1}b_{j+1}...b_n)$ 까지의 라우팅을 위한 차원에지의 시퀀스는 $\langle j-1, j-2, j-3, \dots, 1 \rangle$ 차원에지이다. 이때 차원에지 j 의 최대 값은 $n-1$ 이므로, 연장율은 $O(n)$ 임을 알 수 있다.

정리 3 버블정렬(Bubblesort) 그래프 B_N 을 스타그래프 S_N 에 연장율 3, 확장율 1에 임베딩 가능하다.

증명 버블정렬그래프 B_N 의 노드 $B(=b_1b_2b_3...b_i...b_{i-1}b_{i+1}...b_n)$ 와 i -차원에지에 의해 연결된 노드 $B'(=b_1b_2b_3...b_i...b_{i-1}b_{i+1}...b_n)$ 를 스타그래프 S_N 의 노드 $S(=s_1s_2s_3...s_{i-1}s_i s_{i+1}...s_n)$ 와 노드 $S'(=s_1s_2s_3...s_{i-1}s_{i+1}s_i...s_n)$ 로 각각 사상할 때 노드 S 와 S' 는 서로 인접하지 않으므로, 스타그래프 S_N 의 노드 S 의 순열로부터 노드 S' 의 순열로 변환할 때 까지 적용하는 스타그래프의 에지시퀀스 개수를 통해 연장율을 분석한다.

스타 그래프 S_N 의 노드 $S(=s_1s_2s_3...s_{i-1}s_i s_{i+1}...s_n)$ 순열에서 노드 $S'(=s_1s_2s_3...s_{i-1}s_{i+1}s_i...s_n)$ 까지 라우팅을 위한 최단 경로의 에지시퀀스는 $\langle S_{i+1}, S_i, S_{i+1} \rangle$ 이다. 스타그래프에서 에지시퀀스를 이용한 라우팅 과정은 다음과 같다. 스타그래프 S_N 의 노드 $S(=s_1s_2s_3...s_{i-1}s_i s_{i+1}...s_n)$ 에서 차원에지 S_{i+1} 에 의해 인접한 노드의 순열은 $S_{i+1}(S)=s_1s_2s_3...s_{i-1}s_i s_{i+1}...s_n$ 이고, 노드 $S_{i+1}(S)$ 에서 차원에지 S_i 에 의해 인접한 노드의 순열은 $S_i S_{i+1}(S)=s_1s_2s_3...s_{i-1}s_{i+1}s_i...s_n$ 이다. 노드 $S_i S_{i+1}(S)$ 에서 차원에지 S_{i+1} 에 의해 인접한 노드의 순열은 $S_{i+1} S_i S_{i+1}(S)=s_1s_2s_3...s_{i-1}s_{i+1}s_i...s_n$ 이므로 스타 그래프 S_N 의 노드 S 와 노드의 순열 $S_{i+1} S_i S_{i+1}(S)$ 는 동일한 주소를 가짐을 알 수 있고, 노드 S 에서 노드 S' 까지 라우팅을 위해 필요한 차원에지 개수는 3개이다. 따라서 버블정렬그래프 B_N 의 노드 $B(=b_1b_2b_3...b_i...b_{i-1}b_{i+1}...b_n)$ 와 노드 $B'(=b_1b_2b_3...b_i...b_{i-1}b_{i+1}...b_n)$ 를 스타그래프 S_N 의 노드 $S(=s_1s_2s_3...s_{i-1}s_i s_{i+1}...s_n)$ 와 노드 $S'(=s_1s_2s_3...s_{i-1}s_{i+1}s_i...s_n)$ 로 각각 사상할 때 연장율은 3이다. □

정리 4 스타그래프 S_N 을 버블정렬(Bubblesort) 그래프 B_N 으로 임베딩하는데 연장율 비용이 $O(n)$ 임을 보인다.

스타그래프 S_N 의 노드 $S(=s_1s_2s_3...s_{i-1}s_i s_{i+1}...s_n)$ 와 i -차원에지 S_i 에 의해 인접한 노드 S' 의 순열은 $s_i s_2 s_3 ... s_{i-1} s_1 s_{i+1} ... s_n$ 이다($2 \leq i \leq n$). 스타 그래프 S_N 의 노드 S 를 버블정렬그래프 B_N 의 노드 $B(=b_1b_2b_3...b_{i-1}b_i b_{i+1}...b_n)$ 로 사상하고 노드 S' 를 노드 B' 로 사상할 때, 노드 $B(=b_1b_2b_3...b_{i-1}b_i b_{i+1}...b_n)$ 에서 노드 $B'(=b_1b_2b_3...b_{i-1}b_i b_{i+1}...b_n)$ 까지 최단경로 라우팅을 위해 적용해야 할 차원에지의 개수가 $c \times n$ 임을 통해 임베딩의 연장율 비용이 $O(n)$ 임을 보인다(c 는 상수).

최단경로 라우팅 개요는 다음과 같다. 버블정렬그래프 B_N 의 노드 $B(=b_1b_2b_3...b_{i-1}b_i b_{i+1}...b_n)$ 에서 먼저 첫 번째 위치에 있는 심벌 b_1 을 인접한 심벌들과 계속 교환하여 i 번째 위치로 이동하고, i 번째 위치에 있는 심벌 b_i 를 인접한 심벌들과 교환하여 첫 번째 위치로 이동한다. 위 작업을 위

해 라우팅에 적용되는 에지시퀀스는 $\langle B_1, B_2, B_3, \dots, B_{i-2}, B_{i-1}, B_{i-2}, \dots, B_2, B_1 \rangle$ 이다. 노드 $B(=b_1b_2b_3...b_{i-1}b_i b_{i+1}...b_n)$ 에서 에지시퀀스 $\langle B_1, B_2, B_3, \dots, B_{i-2}, B_{i-1} \rangle$ 을 순차적으로 적용하면 심벌 b_1 을 인접한 $i-1$ 개의 심벌들과 순차적으로 교환하여 심벌 b_1 은 i 번째에 위치되고, 그 순열은 $B_{i-1} B_{i-2} \dots B_3 B_2 B_1(B)=b_2 b_3 \dots b_{i-1} b_1 b_{i+1} \dots b_n$ 이다. 그리고 순열 $B_{i-1} B_{i-2} \dots B_3 B_2 B_1(B)=b_2 b_3 \dots b_{i-1} b_1 b_{i+1} \dots b_n$ 에서 심벌 b_i 는 $(i-1)$ 번째 위치에 있으므로, 순열 $B_{i-1} B_{i-2} \dots B_3 B_2 B_1(B)$ 에 에지시퀀스 $\langle B_{i-2}, B_{i-3}, \dots, B_2, B_1 \rangle$ 을 순차적으로 적용하면 심벌 b_i 는 $i-2$ 개의 인접한 심벌들과 교환하여 순열의 첫 번째 위치에 심벌 b_i 을 위치한 순열 $B_1 B_2 B_3 \dots B_{i-3} B_{i-2}(B_{i-1} B_{i-2} \dots B_3 B_2 B_1(B))=b_i b_2 b_3 \dots b_{i-1} b_1 b_{i+1} \dots b_n$ 을 갖는다. 따라서 스타 그래프 S_N 의 노드 $S(=s_1s_2s_3...s_{i-1}s_i s_{i+1}...s_n)$ 와 i -차원에지 S_i 에 의해 인접한 노드 S' 의 순열 중 차원에지가 가장 큰 값은 n -차원에지이므로, 스타 그래프 S_N 의 노드 $S(=s_1s_2s_3...s_{i-1}s_i s_{i+1}...s_n)$ 와 노드 S' 가 사상된 버블정렬그래프의 노드 $B(=b_1b_2b_3...b_{i-1}b_i b_{i+1}...b_n)$ 에서 노드 B' 까지 라우팅을 위해 적용되는 차원에지 개수는 $2n-3$ 개이므로 연장율은 $O(n)$ 이다($2 \leq i \leq n$). □

4. 결론

본 연구에서는 병렬 컴퓨터의 위상으로 잘 알려진 스타(Star), RFM, 버블정렬 그래프 사이의 임베딩을 분석하였다. 스타 그래프, 버블정렬그래프, RFM그래프는 짧은 지름, 노드 대칭성, 계층적 구조와 최대 고장 허용도 등을 갖는 상호 연결망이다.

연구 결과로 버블정렬(Bubblesort) 그래프 B_N 을 RFM그래프 R_N 에 연장비율 2, 버블정렬(Bubblesort) 그래프 B_N 을 스타그래프 S_N 에 연장율 3에 임베딩 할 수 있다. 또한, RFM그래프 R_N 을 버블정렬(Bubblesort) 그래프 B_N 에 연장비율 $O(n)$, 스타그래프 S_N 을 버블정렬(Bubblesort) 그래프 B_N 으로 임베딩하는데 연장율 비용이 $O(n)$ 임을 보였다.

5. 참고 문헌

- [1] S. B. Akers and B. Krishnamurthy, "A Group-Theoretic Model for Symmetric Interconnection Network," IEEE Trans. Comput., Vol. 38, No. 4, pp. 555-565, 1989.
- [2] P. Berthome, A. Ferreira and S. Perennes, "Optimal Information Dissemination in Star and Pancake Networks," IEEE Trans. on Parallel and Distributed Syst., Vol. 7, No. 12, pp. 1292-1300, 1996.
- [3] K. Day and A. Tripathi, "A Comparative Study of Topological Properties of Hypercubes and Star Graphs," IEEE Trans. Parallel and Distributed Systems, Vol. 5, No. 1, pp. 31-38, Jan. 1994.
- [4] T-Y. Feng, "A Survey of Interconnection Networks," IEEE computer, pp. 12-27, December 1981.
- [5] Z. T. Chou, C. C. Hsu, and J. P. Sheu, "Bubblesort Star graphs: A New Interconnection Network," 9th International Parallel Processing Symposium, pp. 41-48, 1996.
- [6] 이형욱, 허영남, 임형석, "RFM Graphs: 그래프 결합을 이용한 새로운 상호연결망," 정보처리학회논문지 5권 10호, pp. 2615-2626, 1998.